

Рис. 1. Степенные аналоги множества Мандельброта

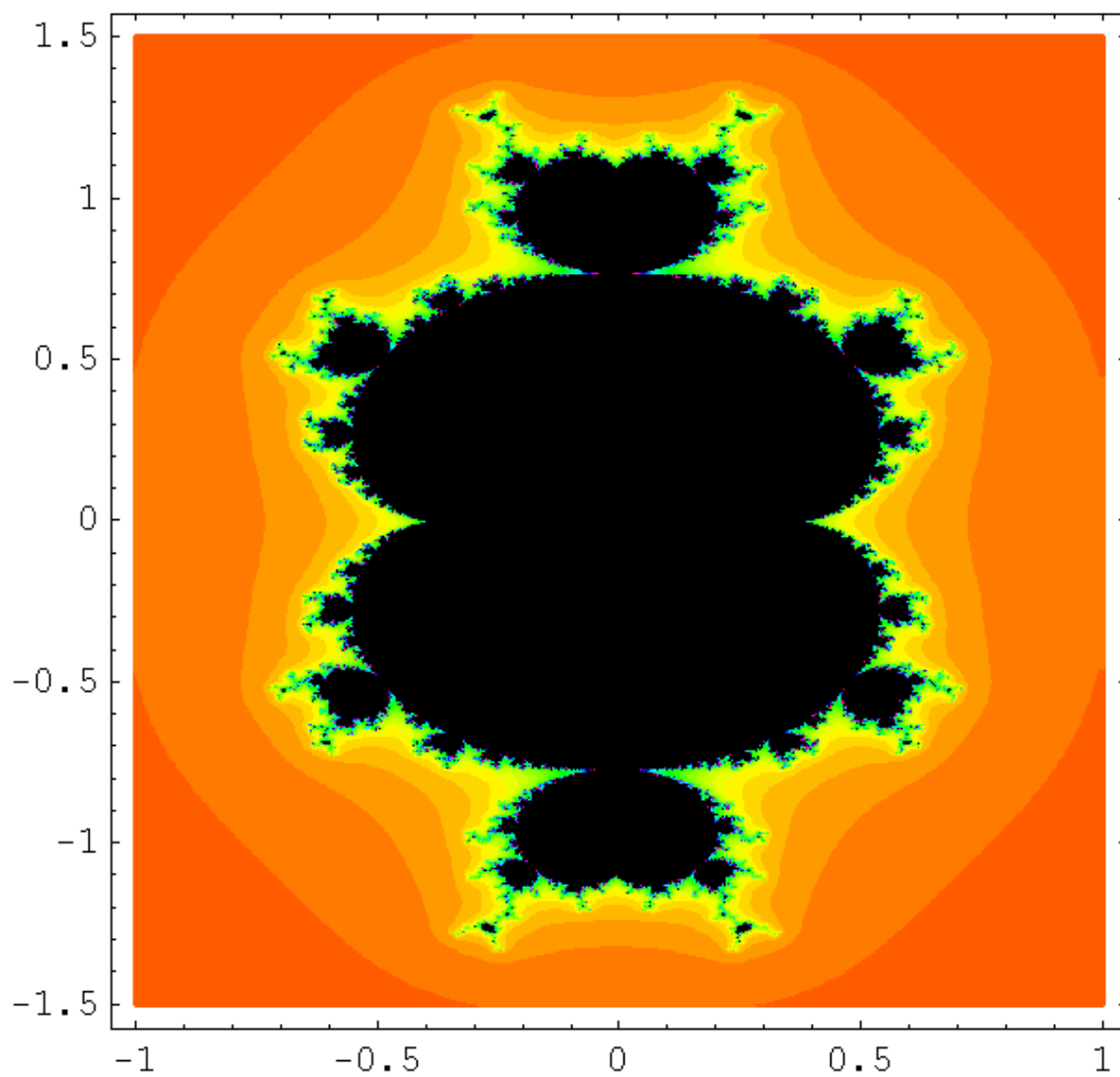


Рис. 2. Кубический аналог множества Мандельброта

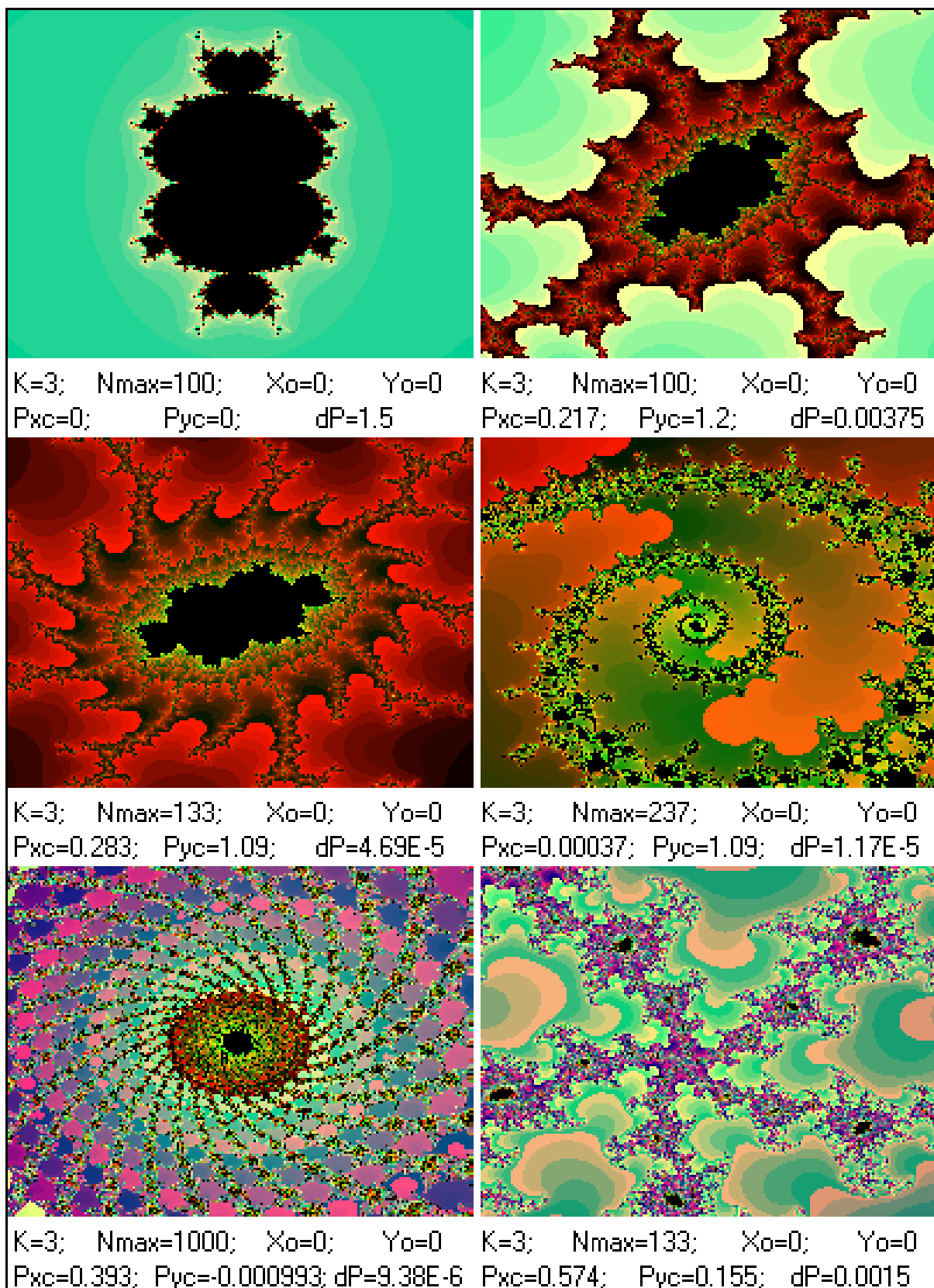


Рис. 3. Кубический аналог множества Мандельброта и некоторые его фрагменты

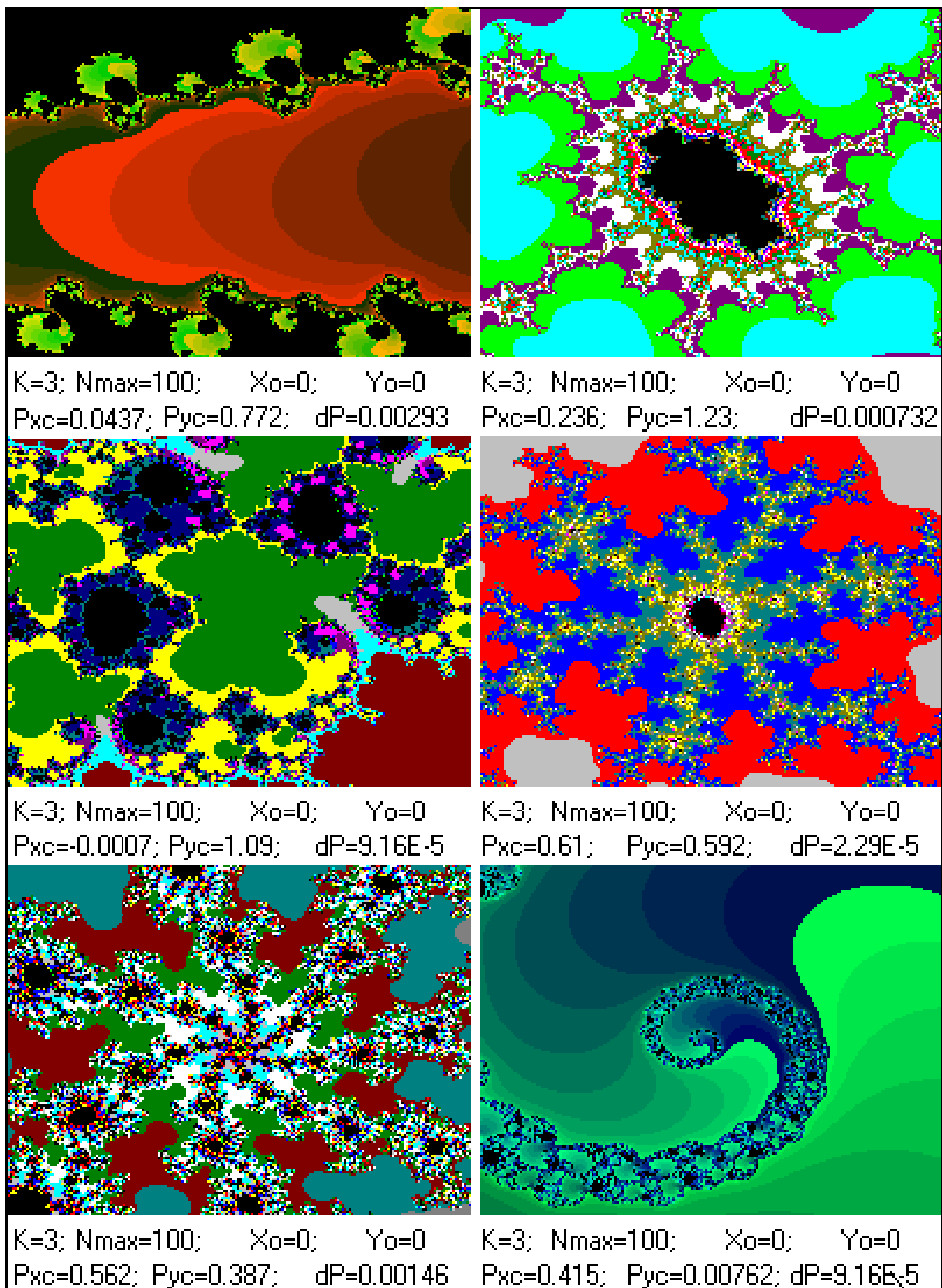


Рис. 4. Фрагменты кубического аналога ММ

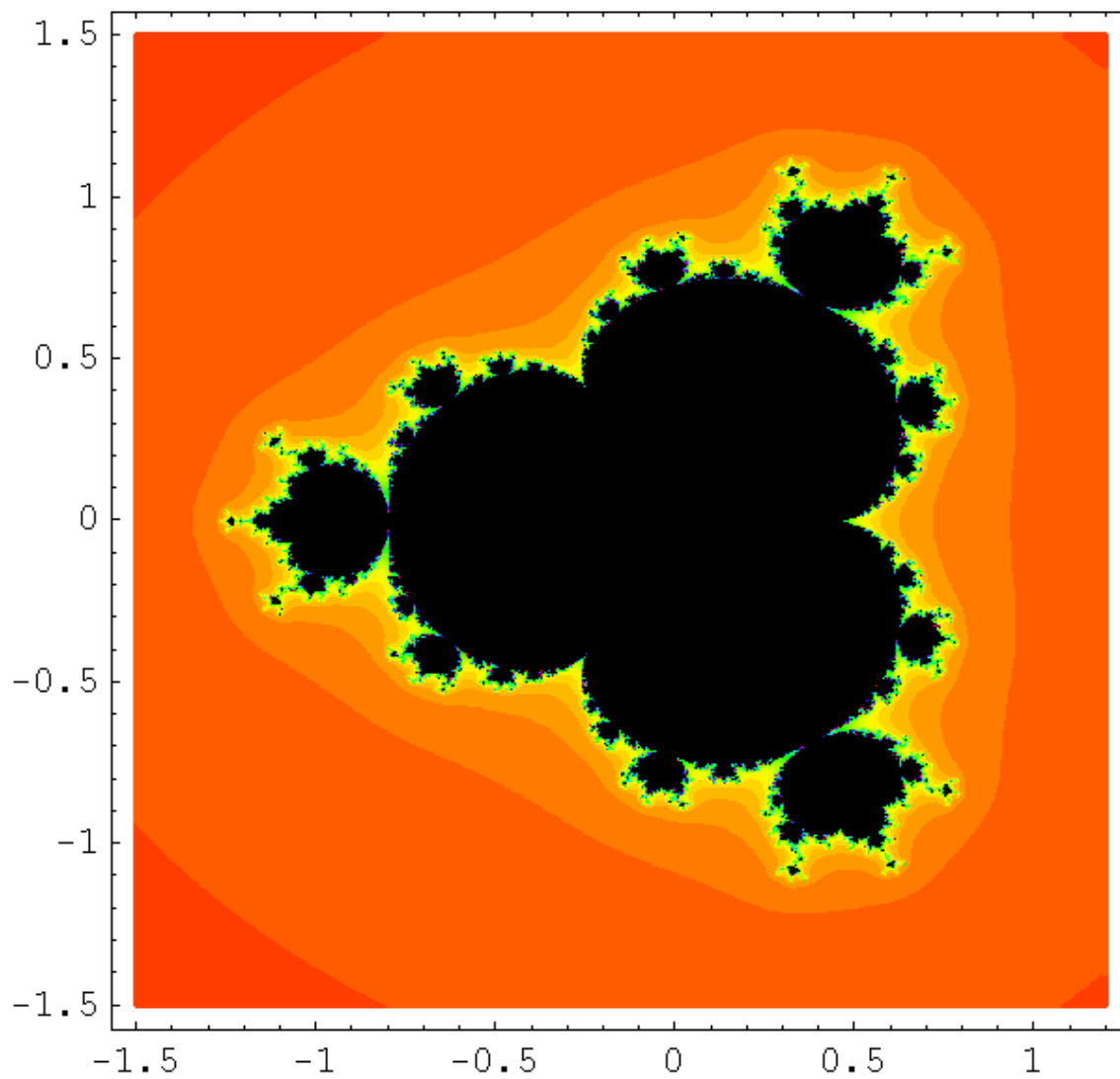


Рис. 5. Четверной аналог множества Мандельброта

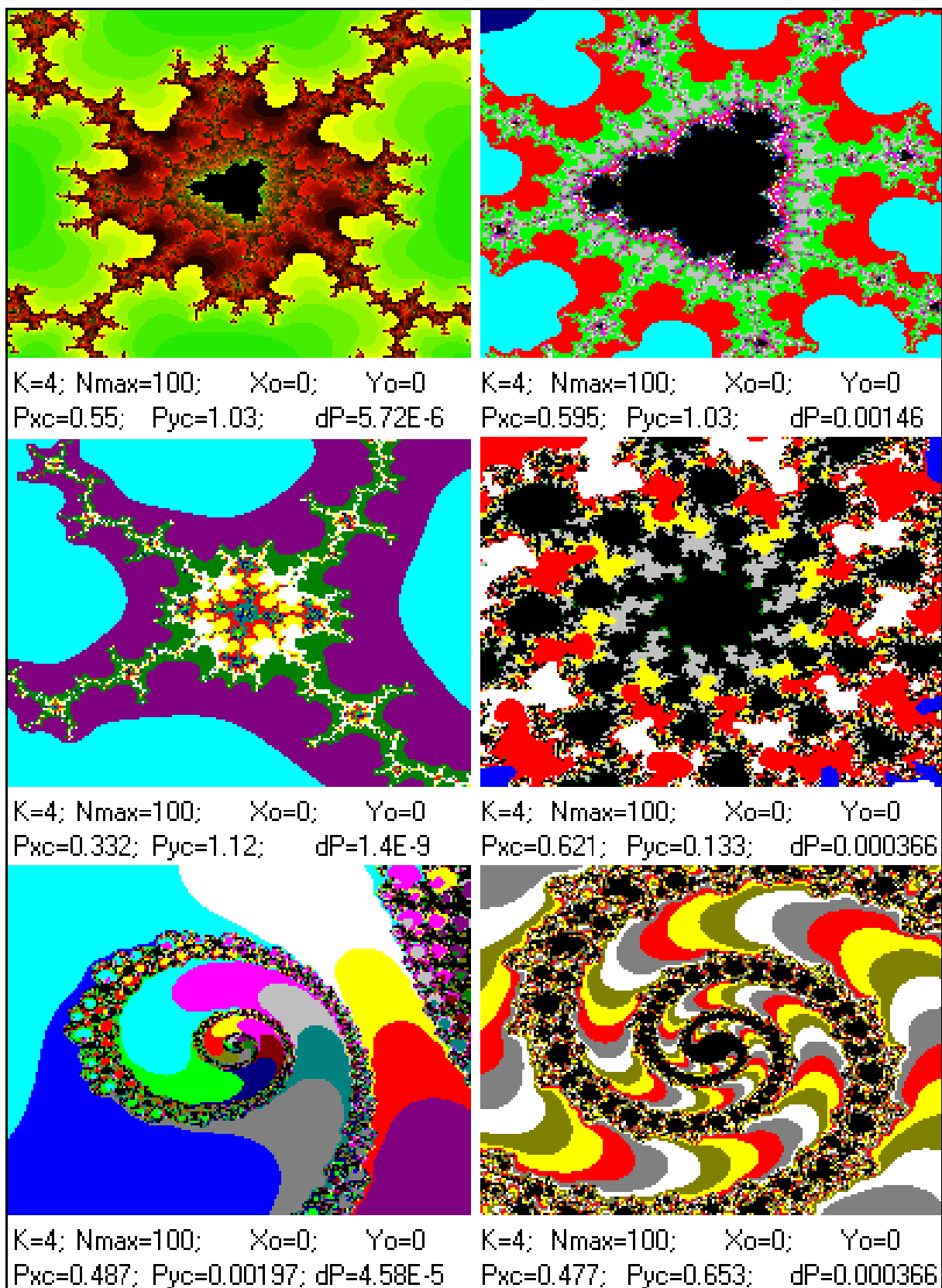


Рис. 6. Фрагменты четверного аналога ММ

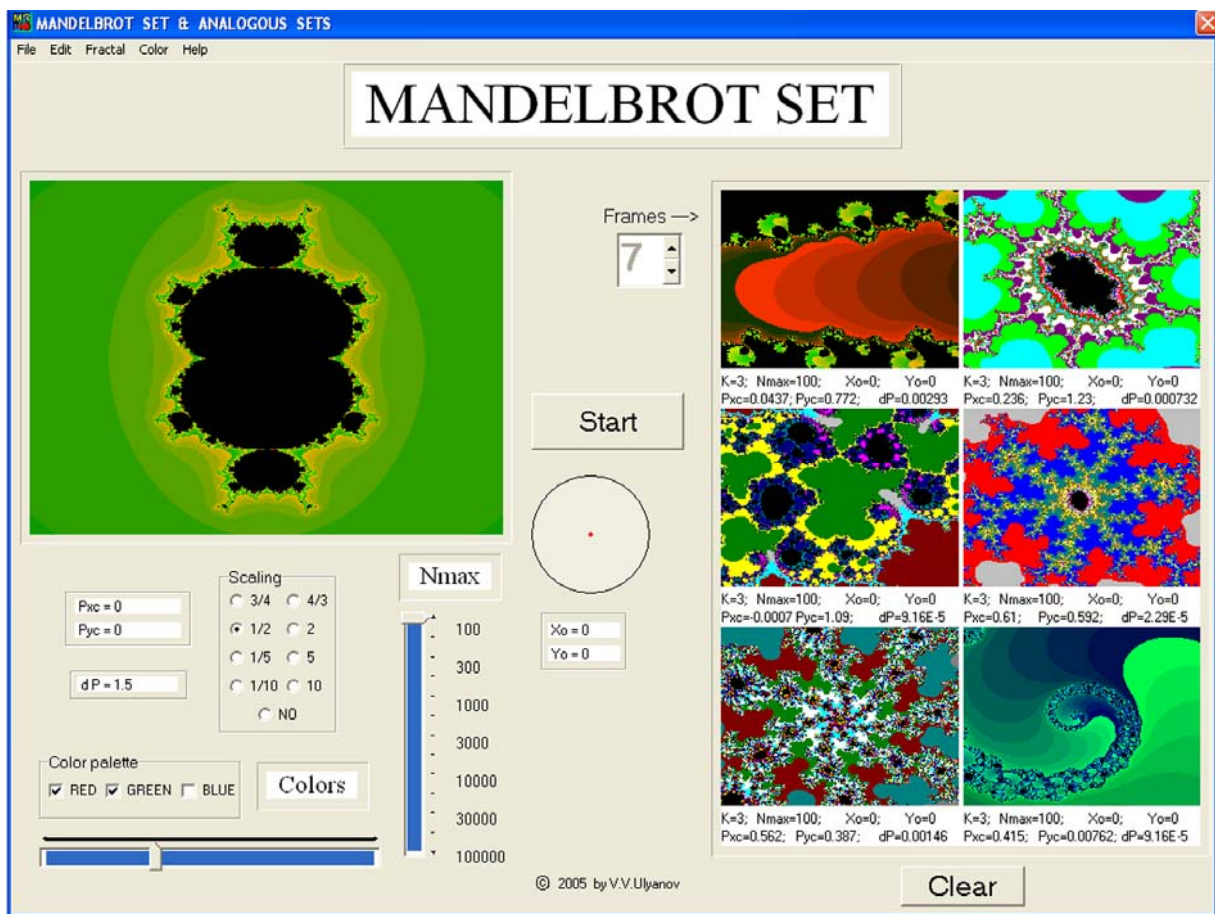


Рис. 7. Компьютерный стенд для изучения аналогов множества Мандельброта (картинка с экрана монитора)

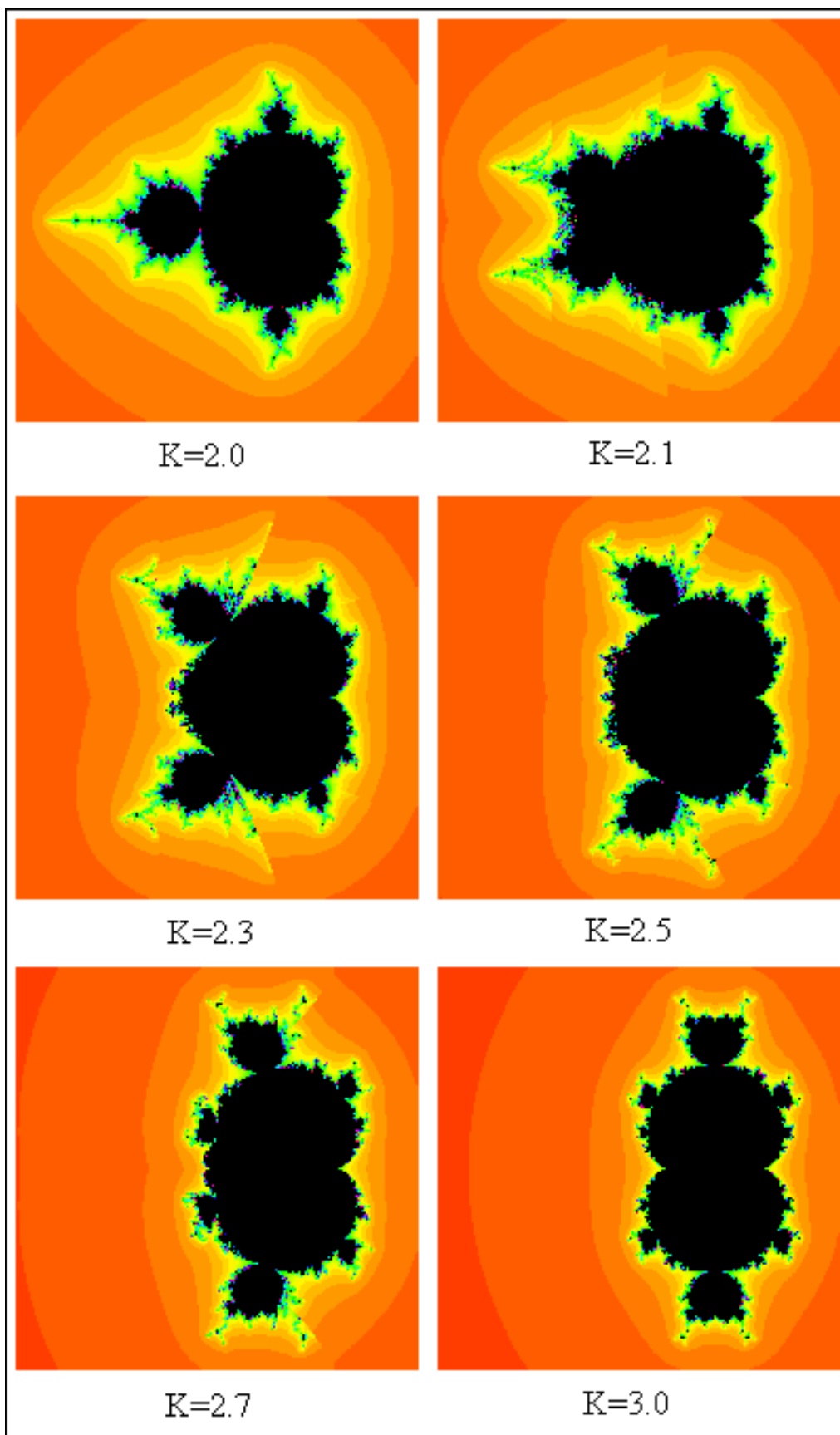


Рис. 8. Переход от квадратичного ММ к его кубическому аналогу

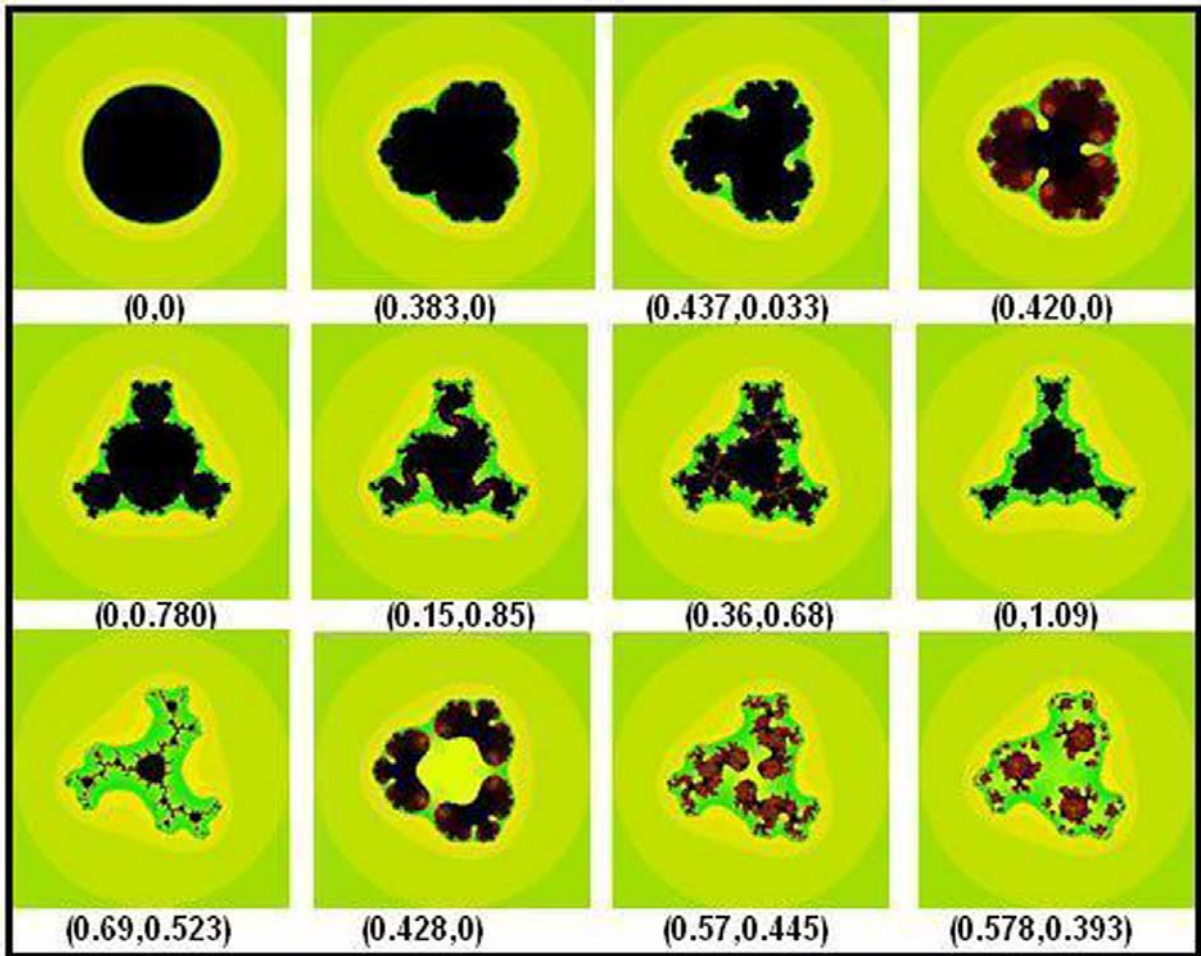


Рис. 9. Некоторые множества Жюлиа для кубического отображения

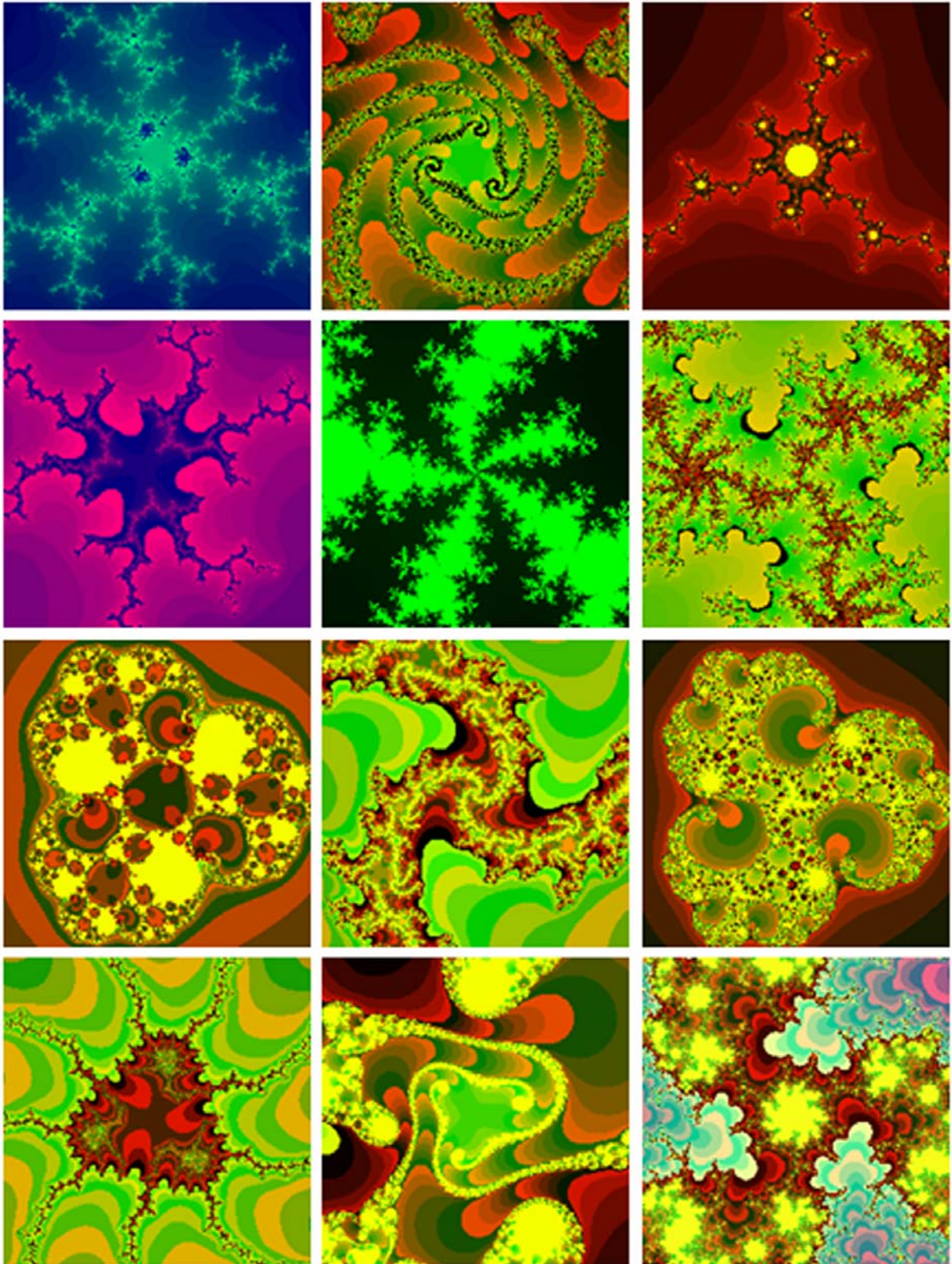


Рис. 10. Некоторые картинки кубических аналогов МЖ



Рис. 11. Компьютерный стенд для изучения степенных аналогов ММ и МЖ (картинка с экрана монитора)

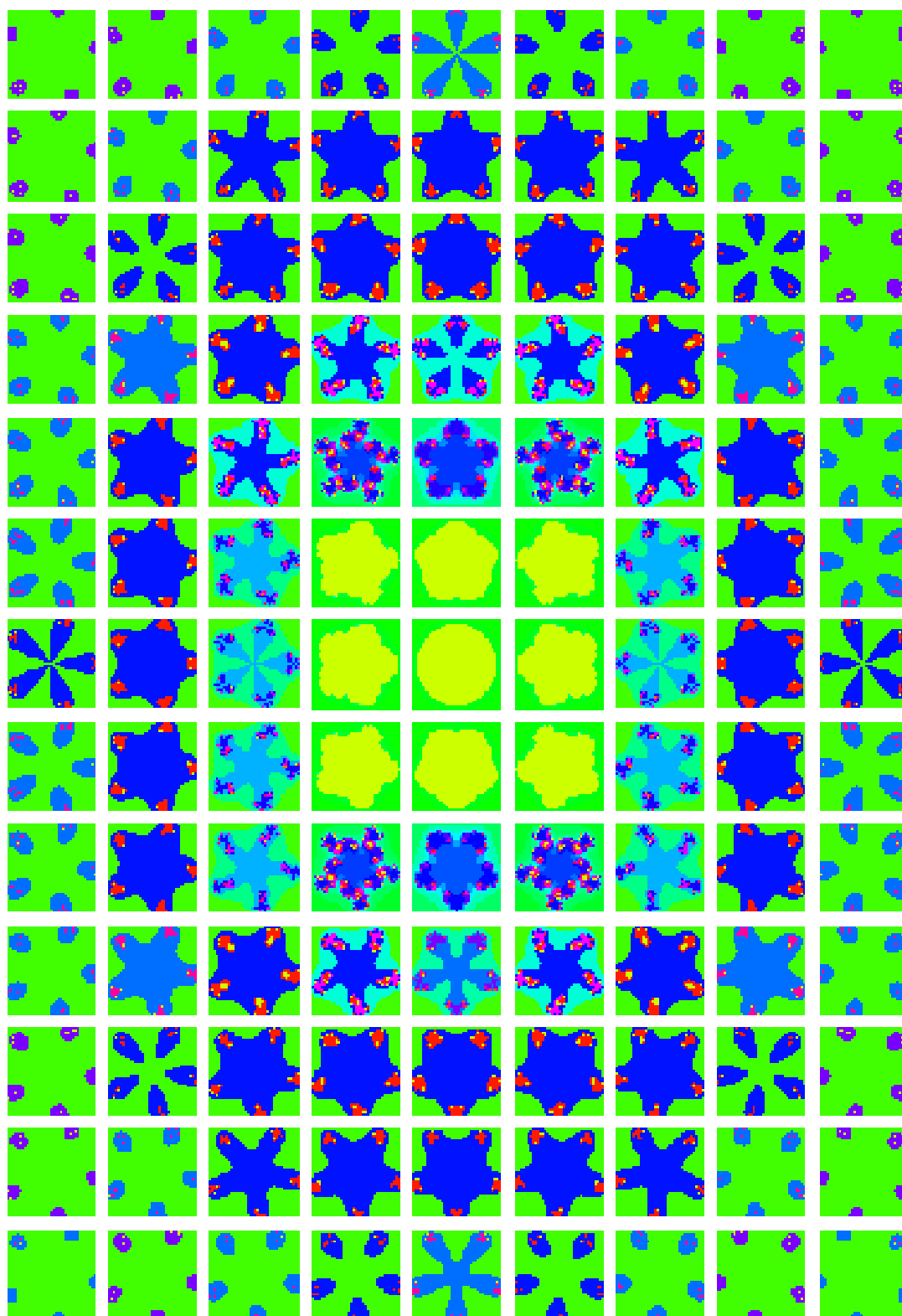


Рис. 12. Таблица картинок множеств Жюлиа для пятерного аналога ММ

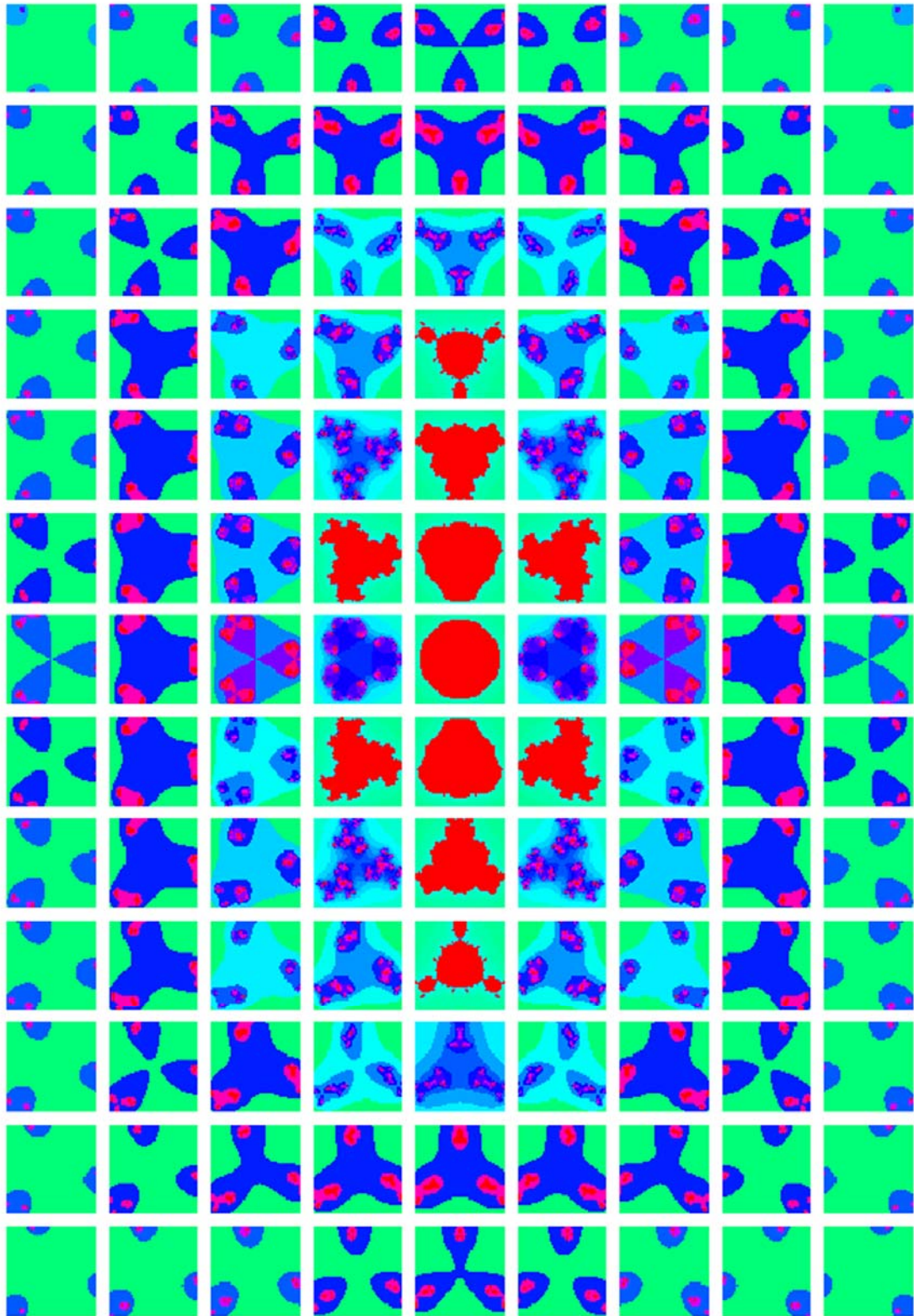


Рис. 13. Таблица картинок множеств Жюлиа для кубического аналога ММ

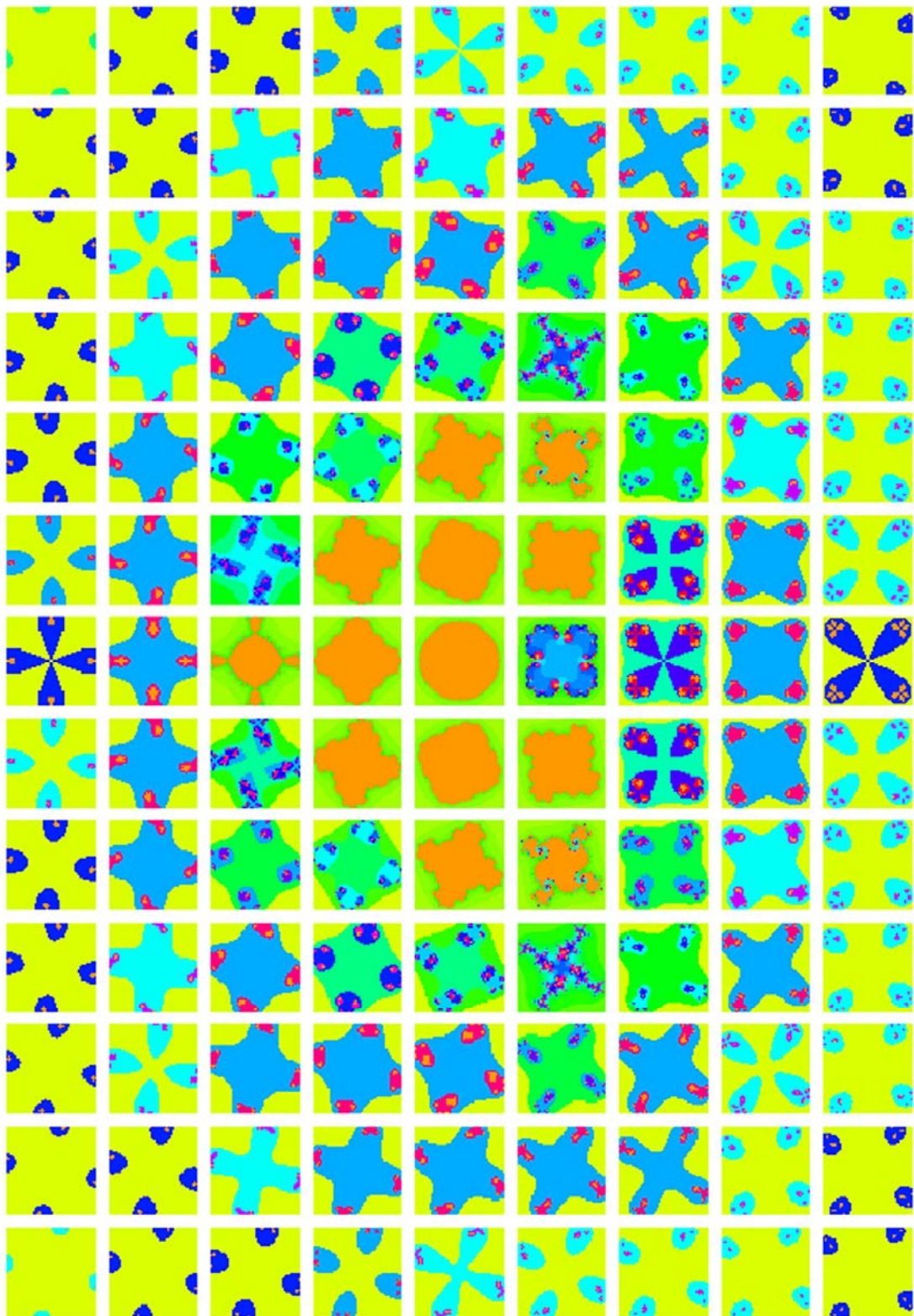


Рис. 14. Таблица картинок множеств Жюлиа для четверного аналога ММ

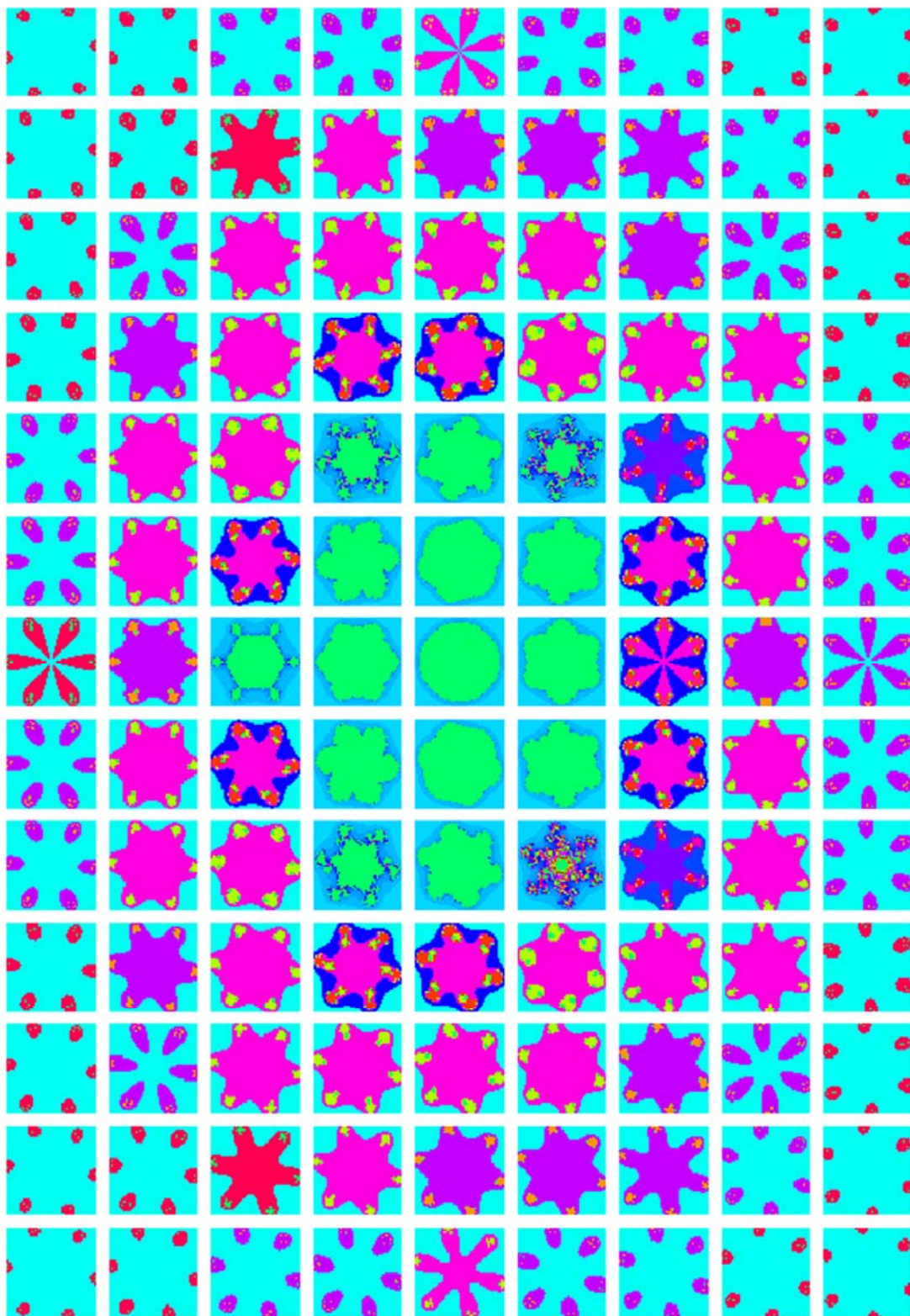


Рис. 15. Таблица картинок множеств Жюлиа для шестерного аналога ММ

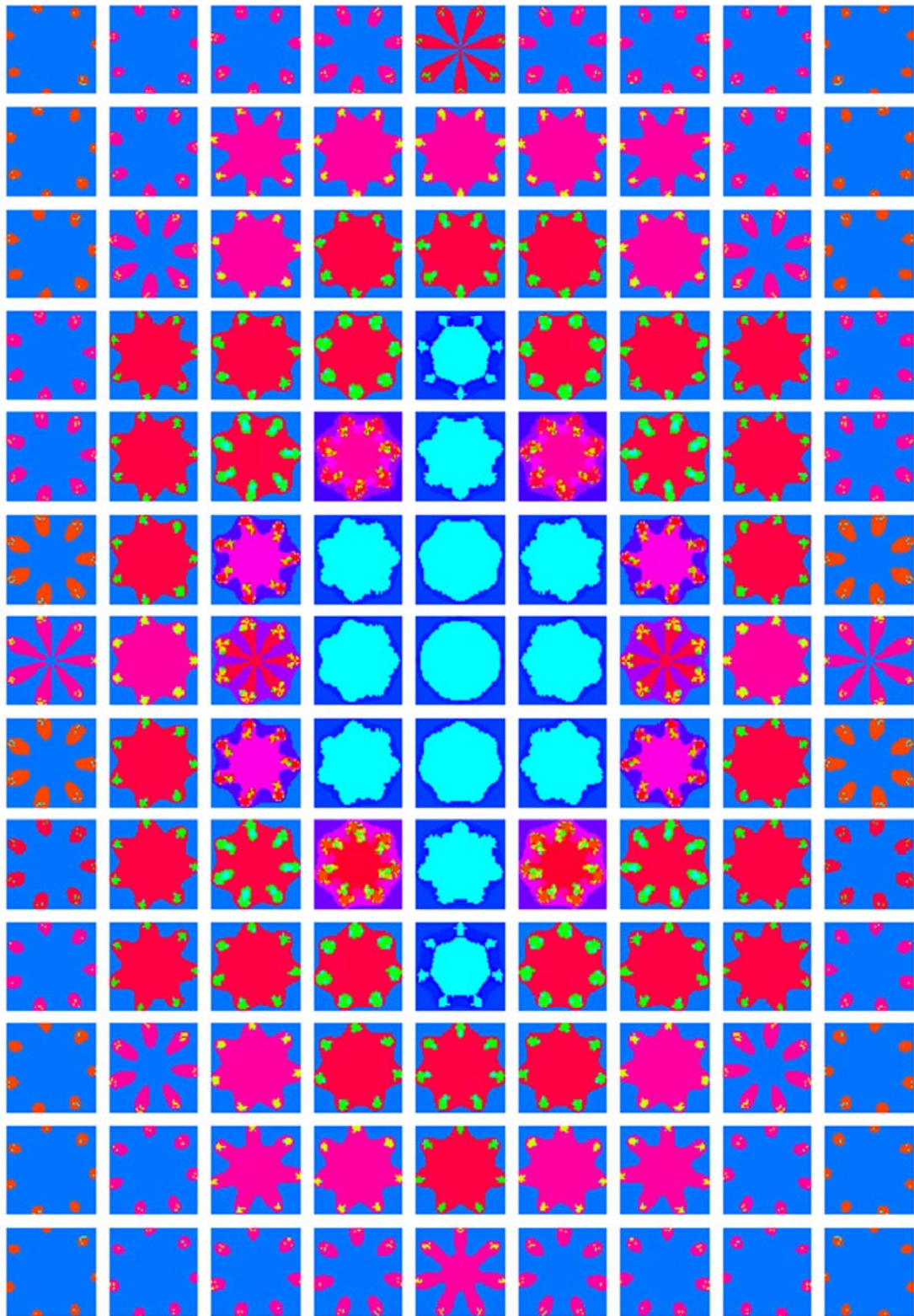


Рис. 16. Таблица картинок множеств Жюлиа для семерного аналога ММ



Рис. 17. Анимационный показ перехода от квадратичного ММ к его кубическому аналогу (картинка с экрана монитора)

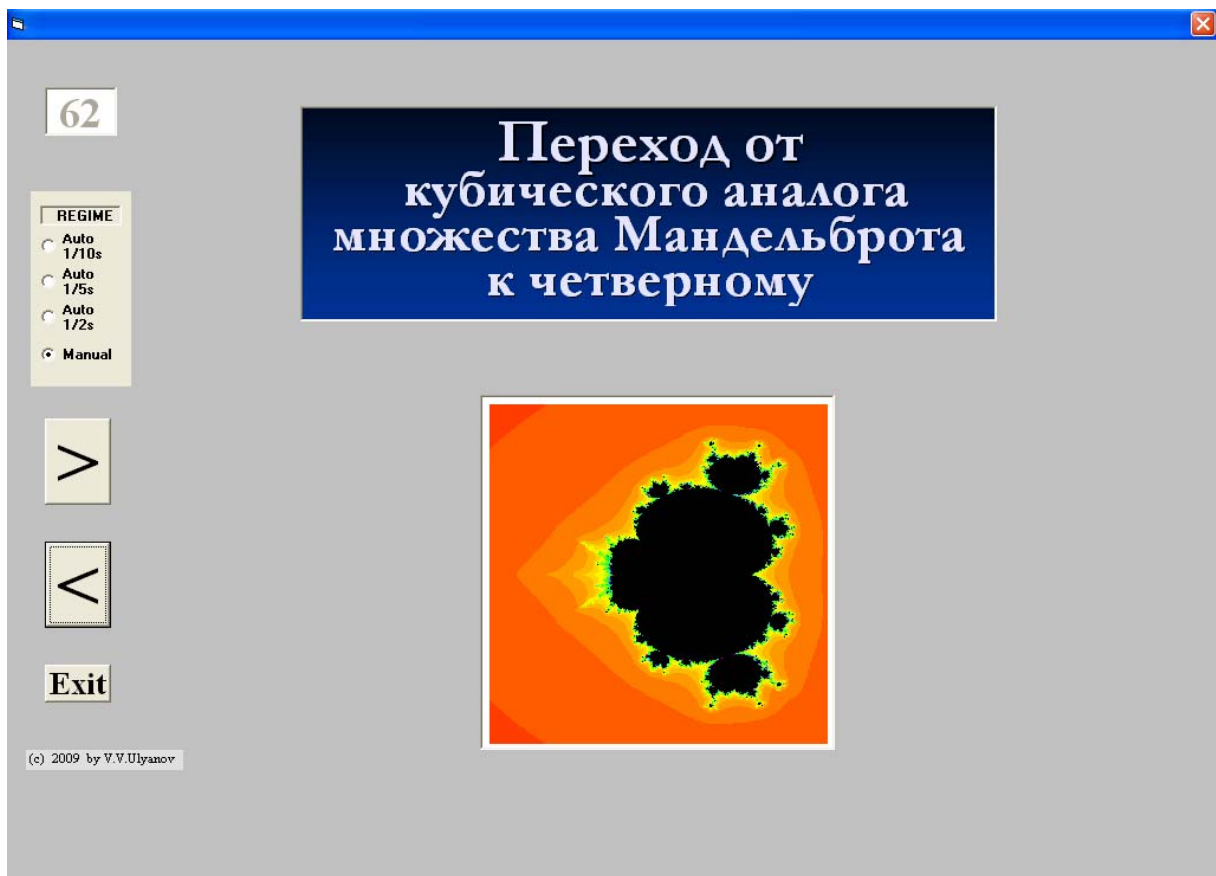


Рис. 18. Анимационный показ перехода от кубического аналога ММ к четверному (картинка с экрана монитора)

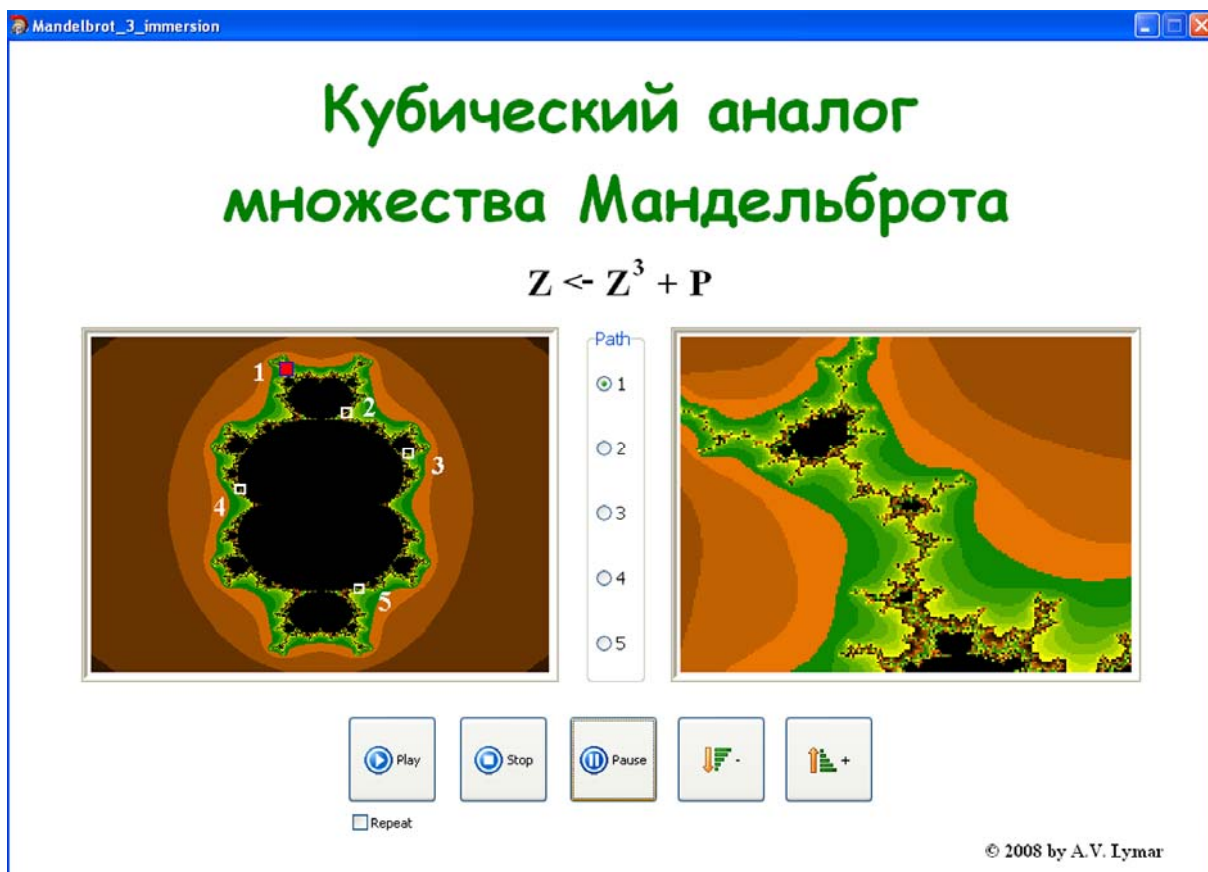


Рис. 19. Анимационные путешествия в глубины кубического аналога ММ (картинка с экрана монитора)

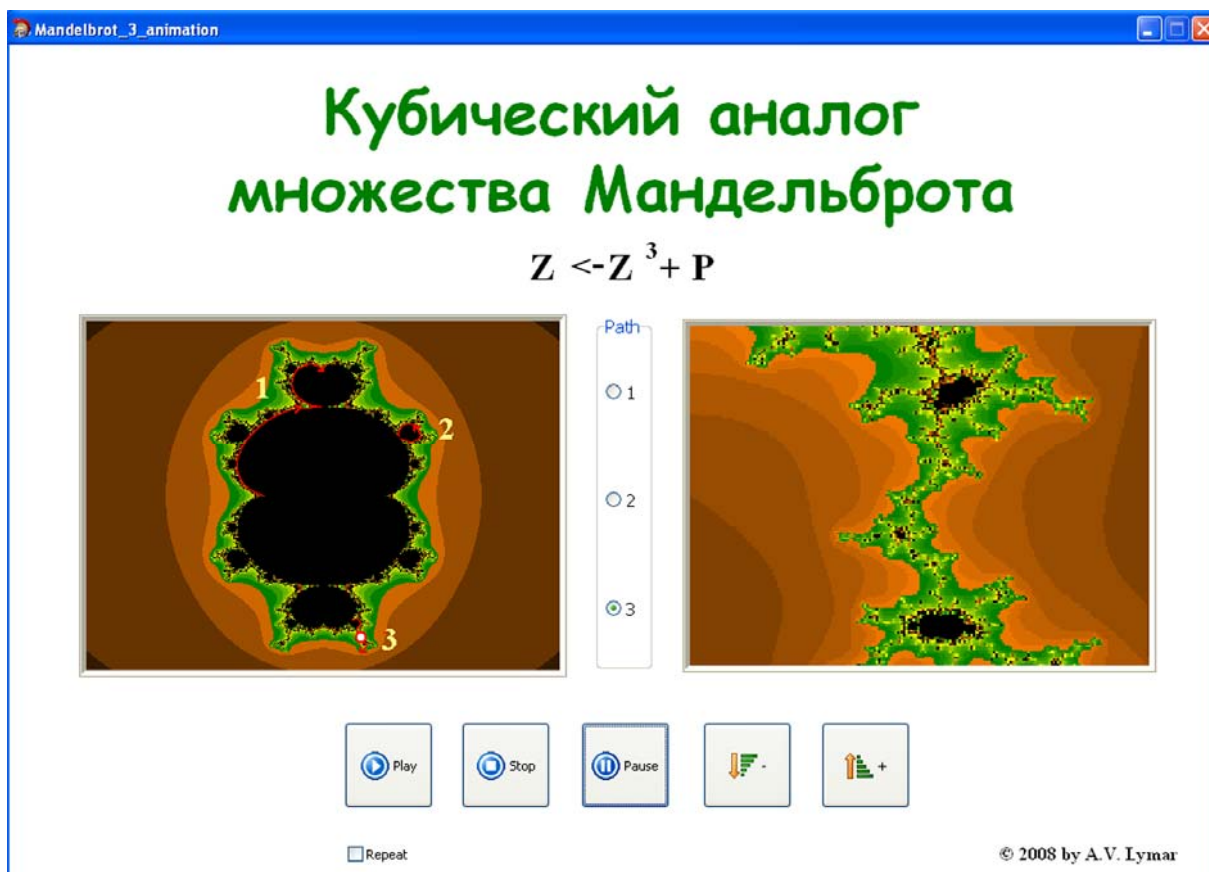


Рис. 20. Анимационные путешествия вдоль границ кубического аналога ММ (картинка с экрана монитора)

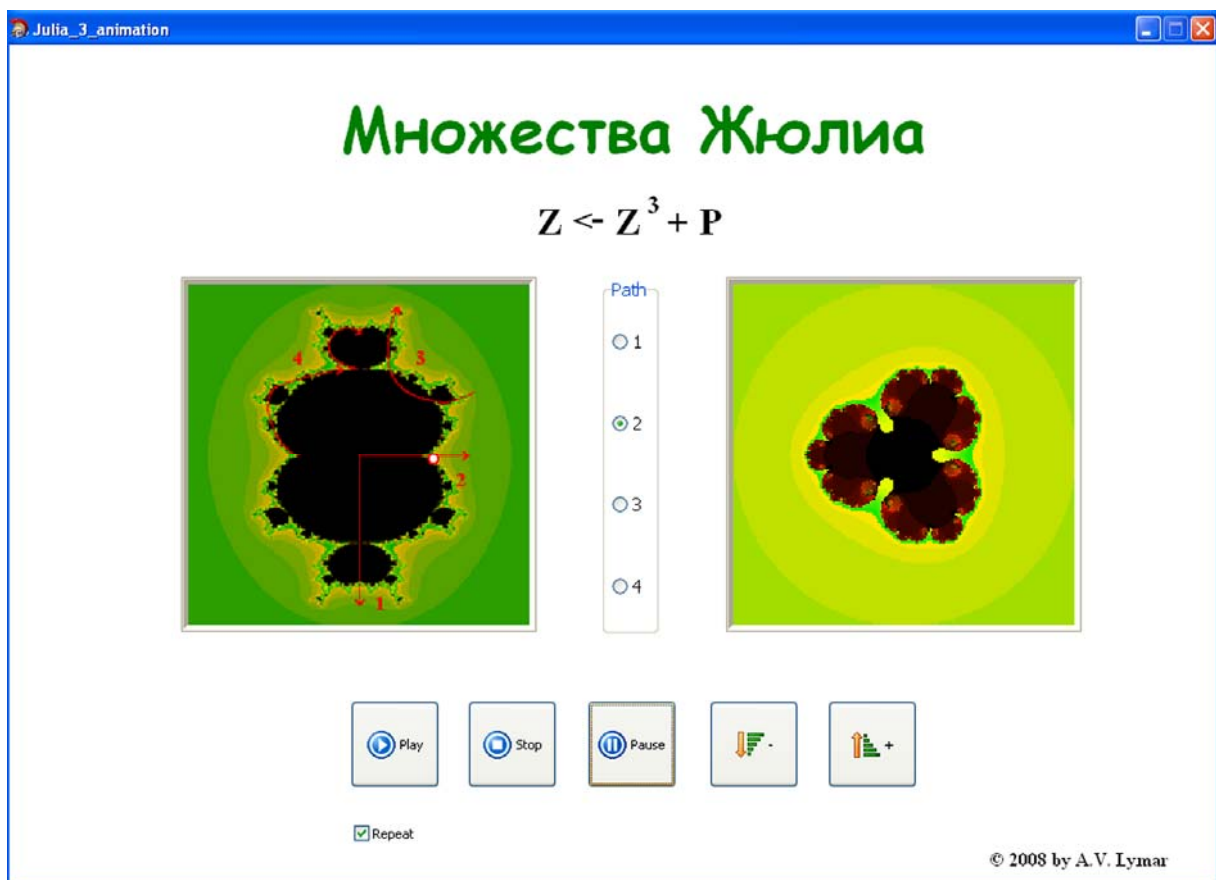


Рис. 21. Анимационные путешествия с демонстрацией кубических аналогов МЖ (картинка с экрана монитора)

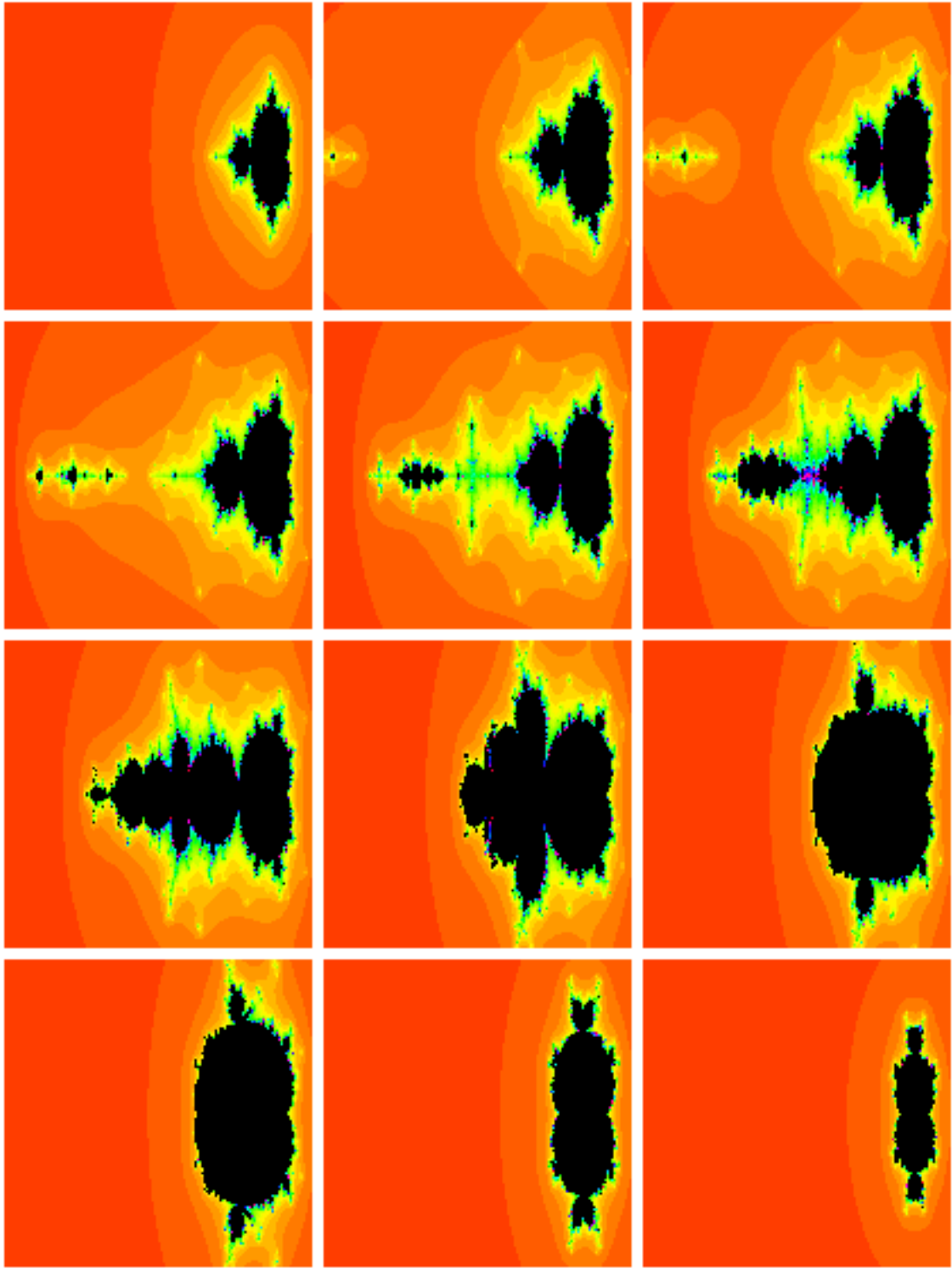


Рис. 22. Характерные кадры преобразования аналога ММ в случае линейной комбинации степенных функций $aZ_n^2 + bZ_n^3$ при $a=1-b$ и постепенном изменении величины b от 0 до 1

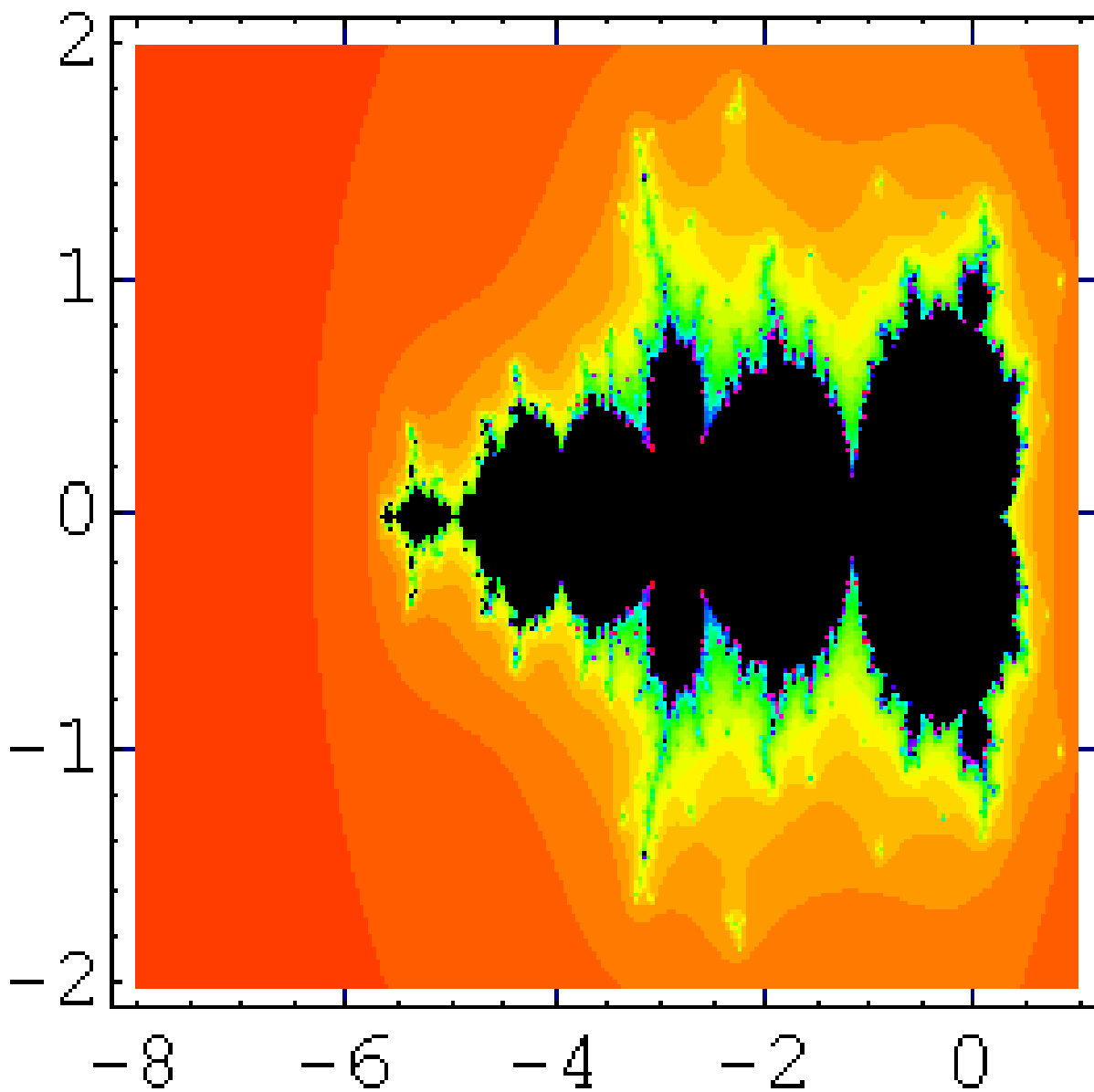


Рис. 23. Особая картинка аналога ММ
в случае $aZ_n^2 + bZ_n^3$ при $a = 0.85$ и $b = 0.15$

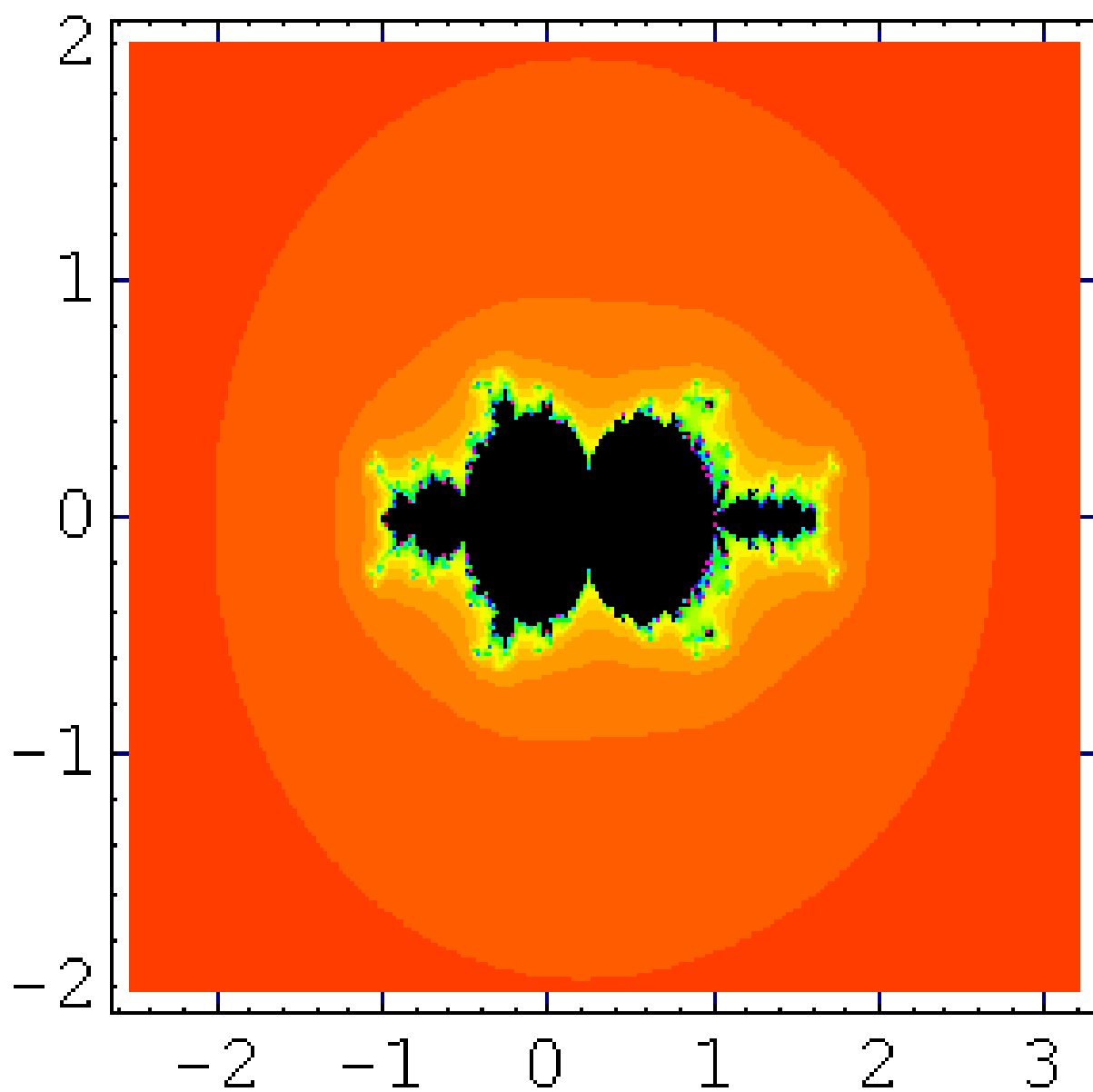


Рис. 24. Любопытная картинка аналога ММ в случае линейной комбинации степенных функций $z^2 - z^3$

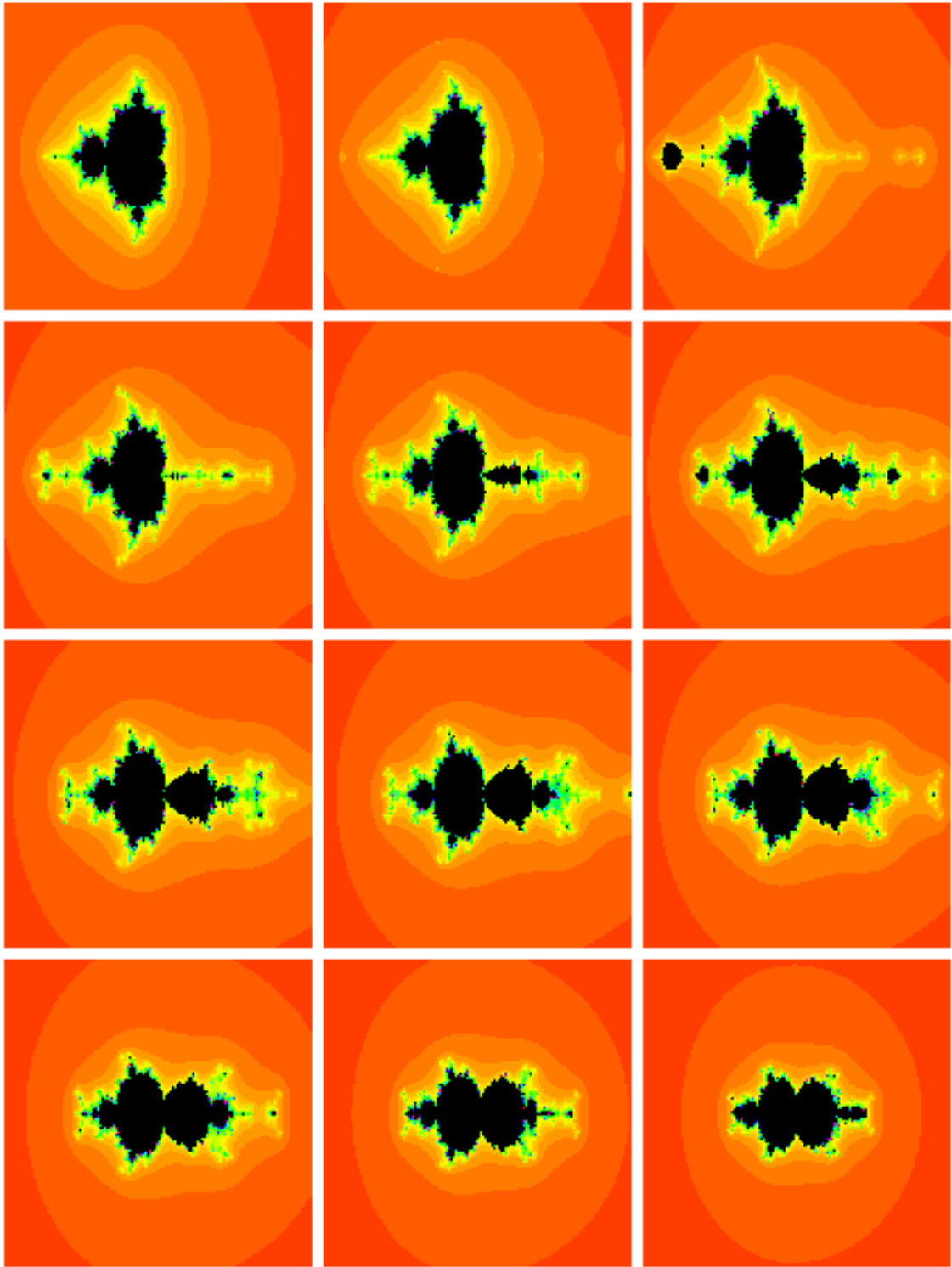


Рис. 25. Характерные кадры преобразования аналога ММ в случае линейной комбинации степенных функций $aZ_n^2 - bZ_n^3$ при $a=1$ и постепенном изменении величины b от 0 до 1

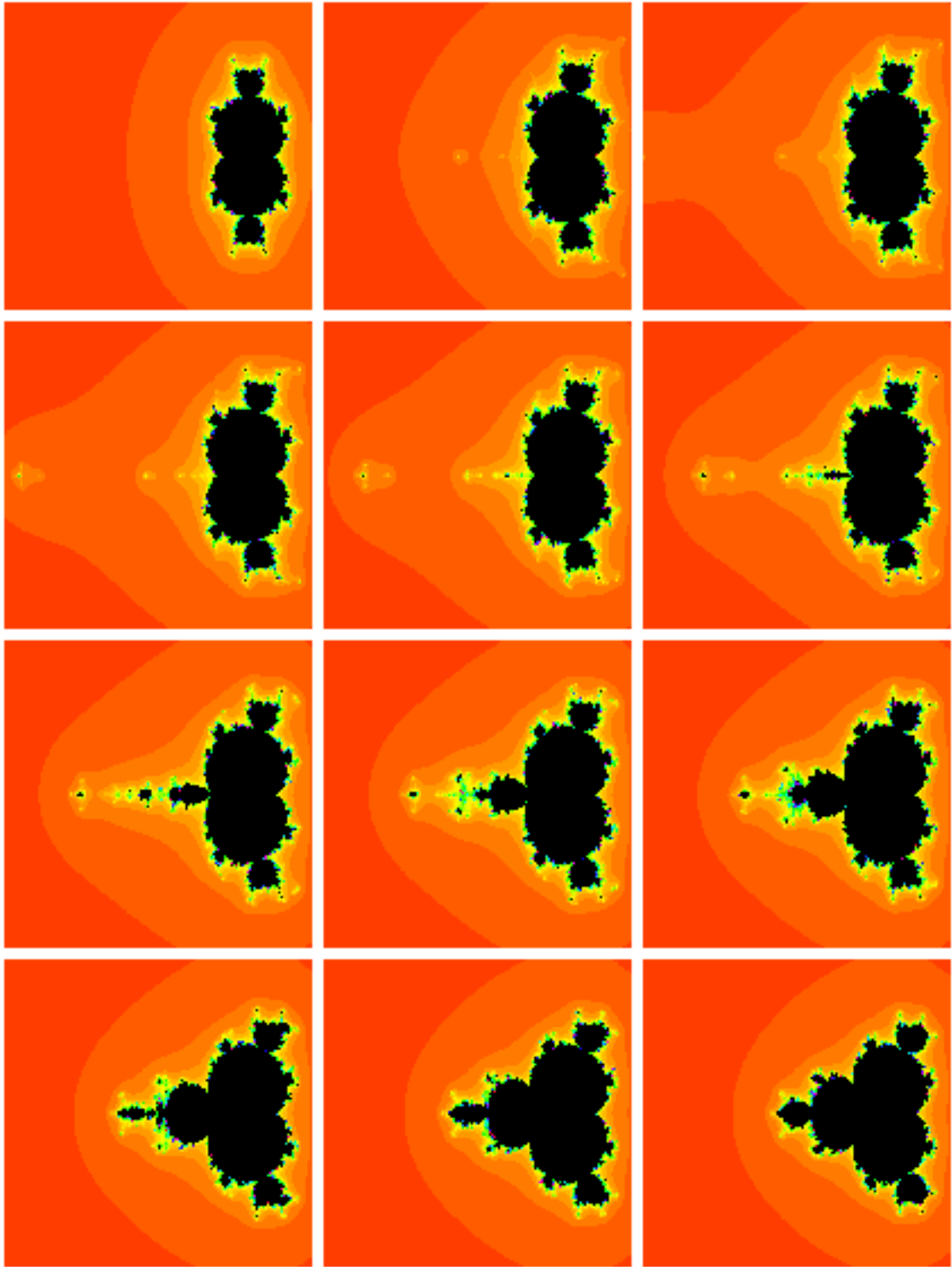


Рис. 26. Типичные кадры преобразования аналога ММ в случае линейной комбинации степенных функций $aZ_n^3 + bZ_n^4$ при $a = 1 - b$ и постепенном изменении величины b от 0 до 1

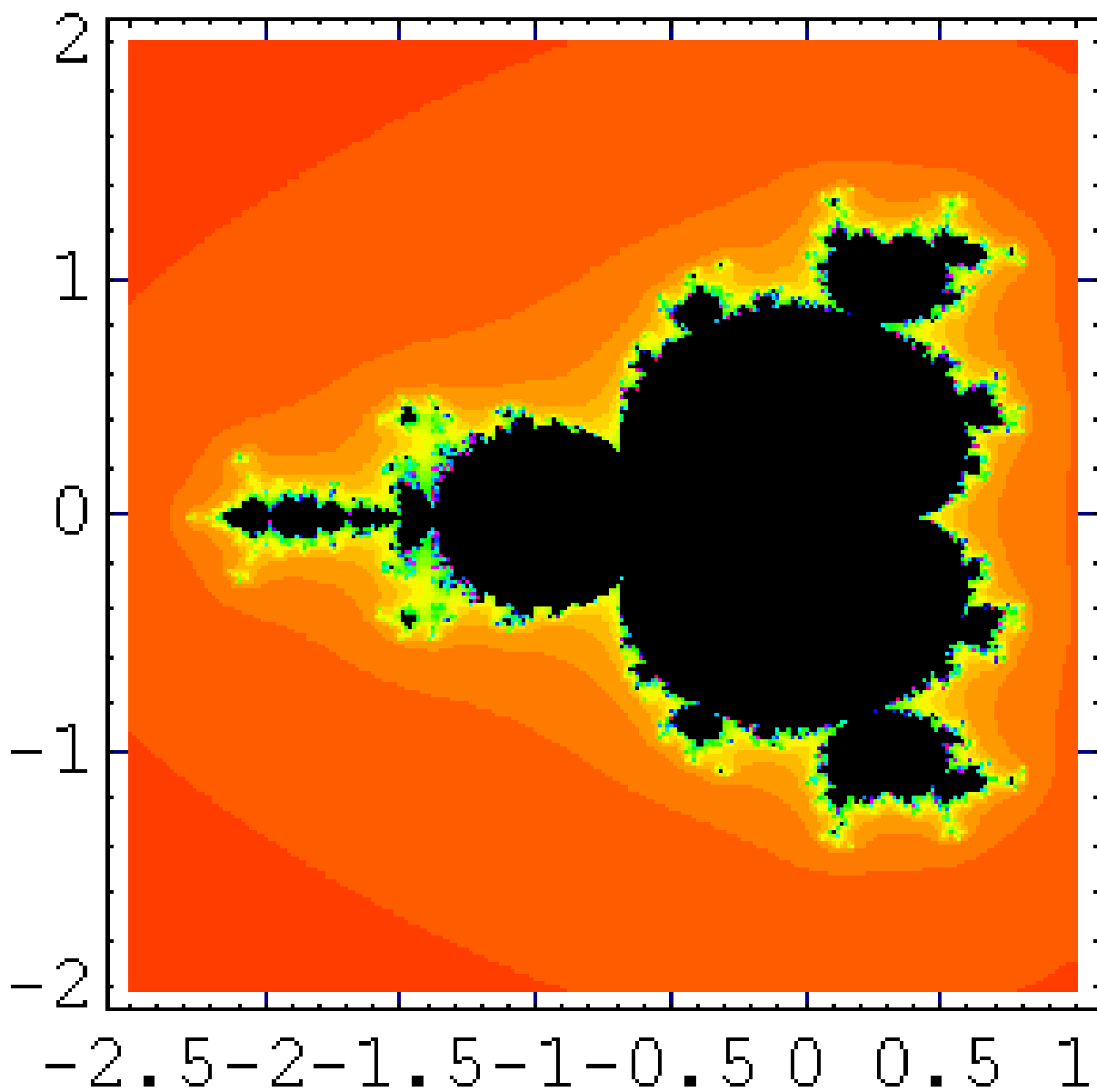


Рис. 27. Картинка аналога ММ в случае линейной комбинации степенных функций при $K=3$, $a=0.6$ и $b=0.4$

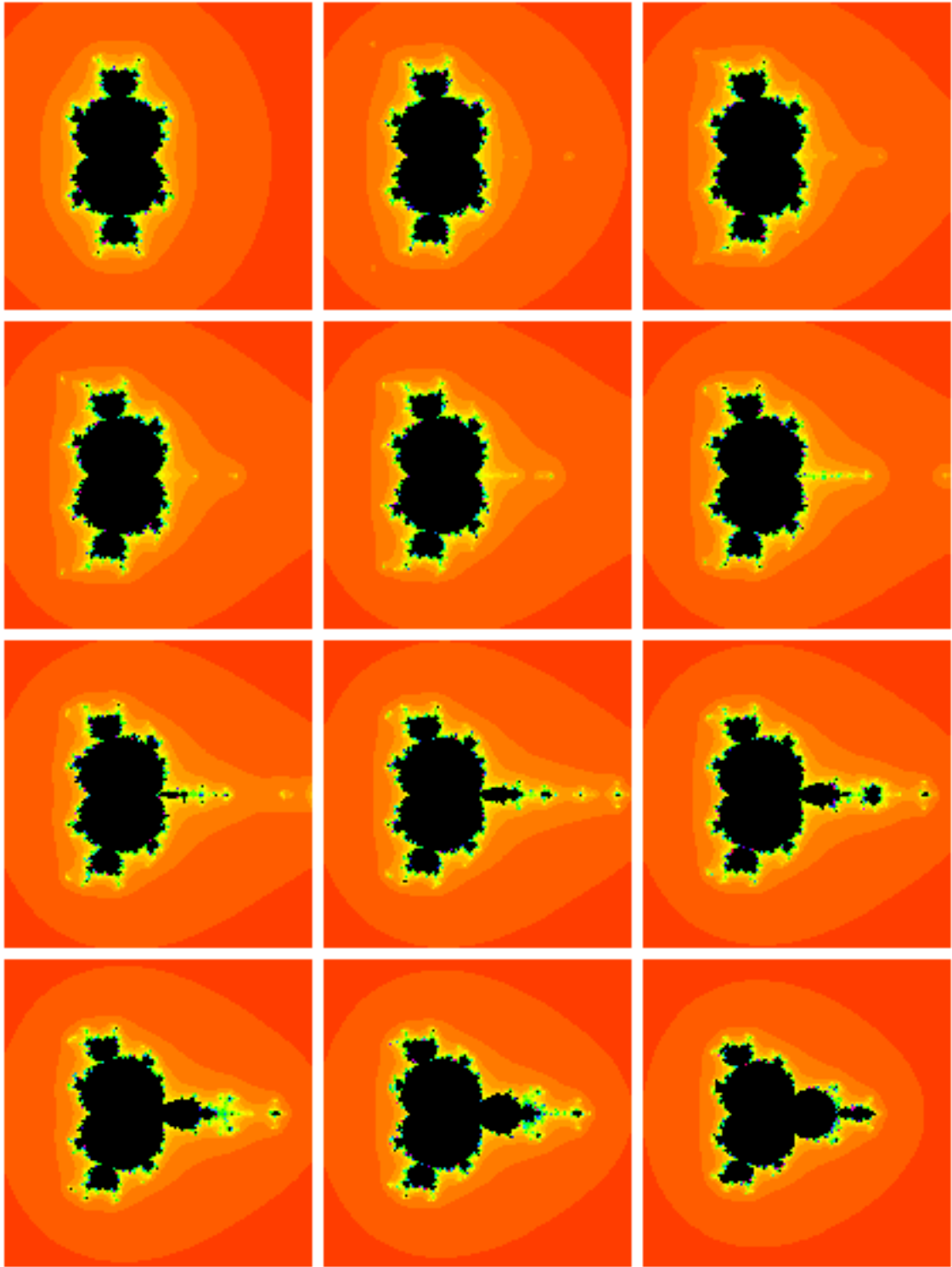


Рис. 28. Избранные кадры преобразования аналога ММ в случае линейной комбинации степенных функций $aZ_n^3 - bZ_n^4$ при $a=1$ и постепенном изменении величины b от 0 до 1

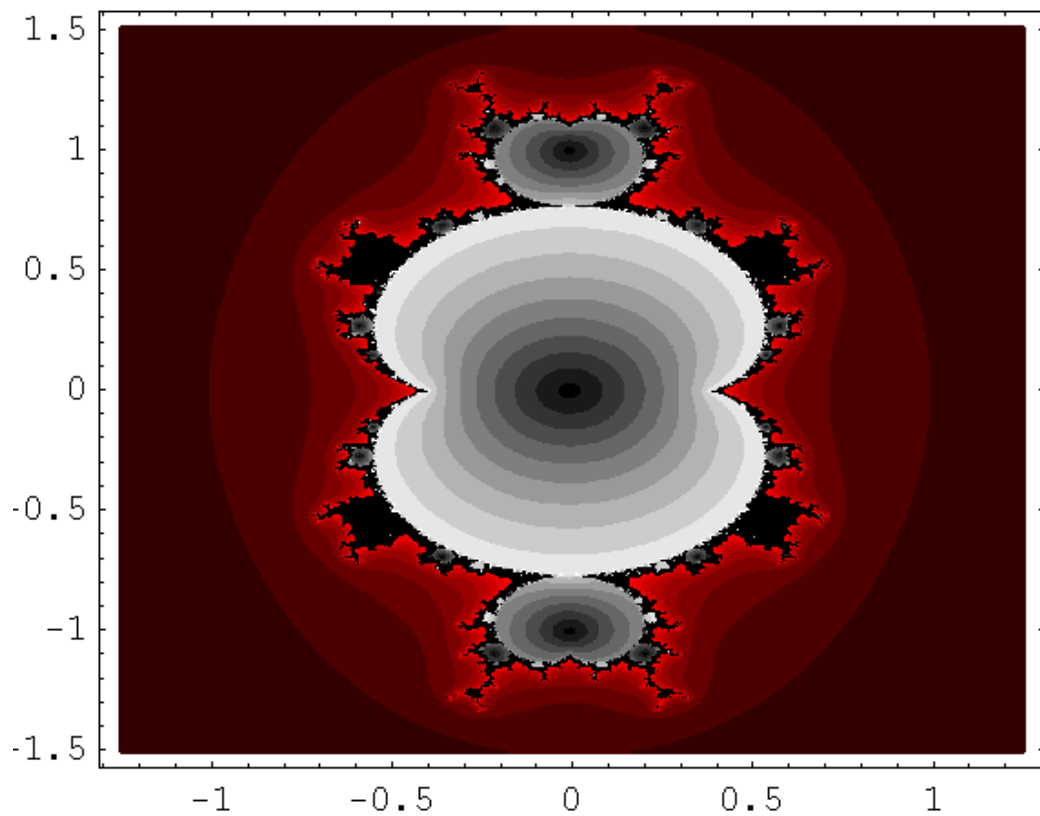
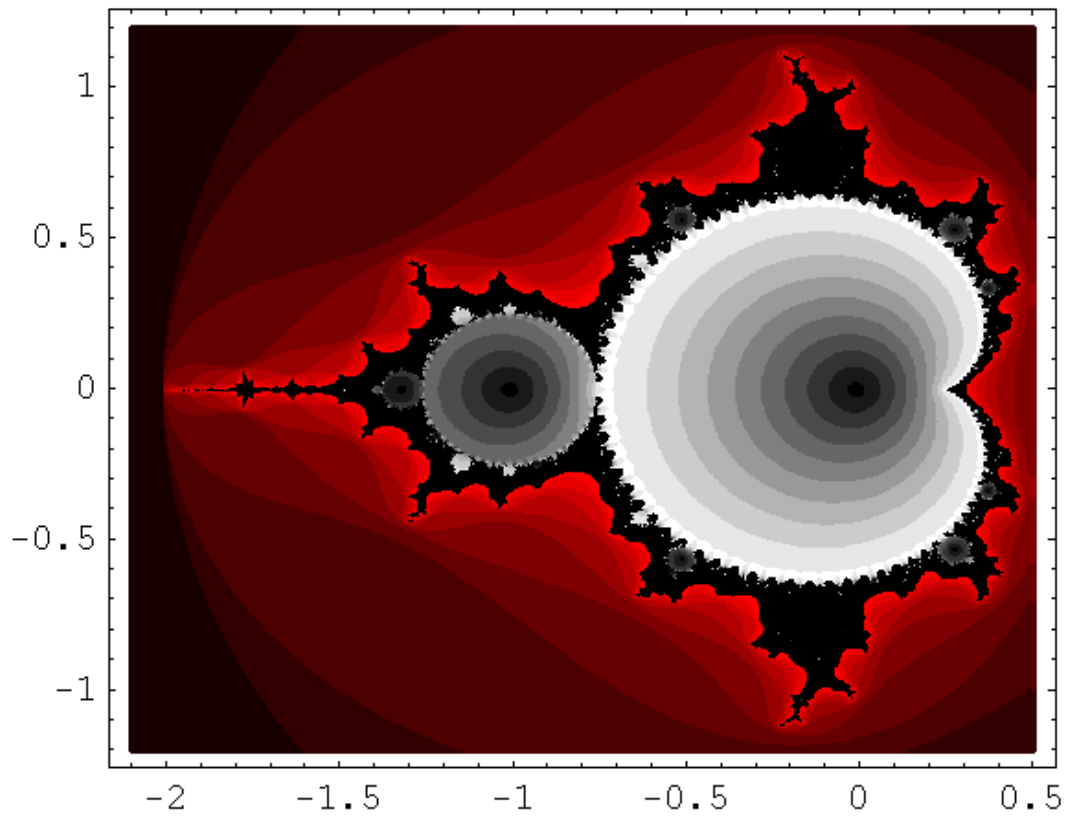


Рис. 29. Вариант раскраски для внутренней структуры множества Мандельброта и его кубического аналога

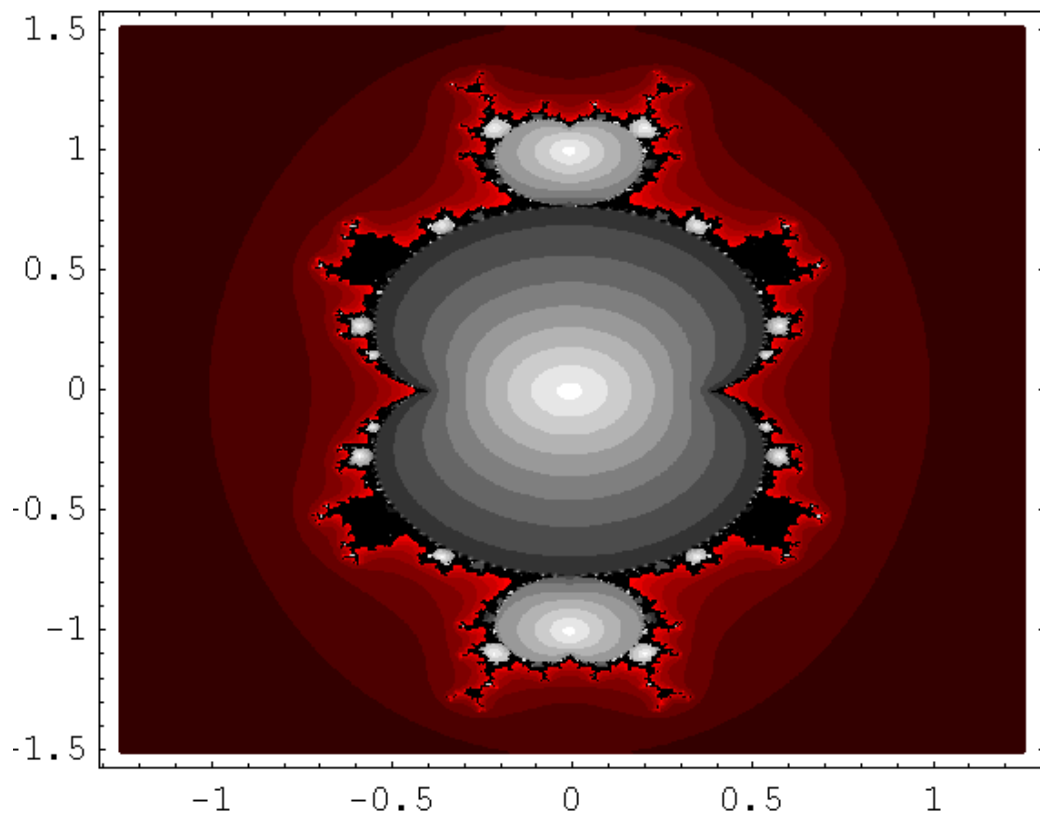
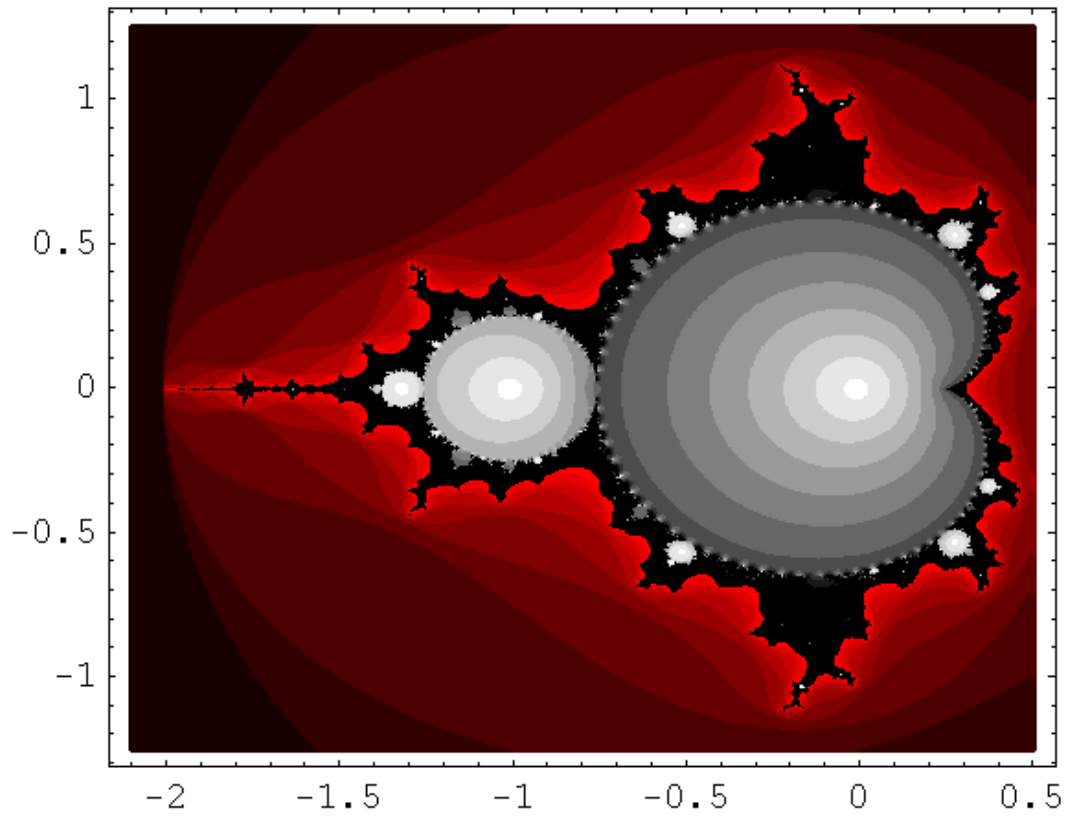


Рис. 30. Еще один вариант раскраски для внутренней структуры ММ и его кубического аналога